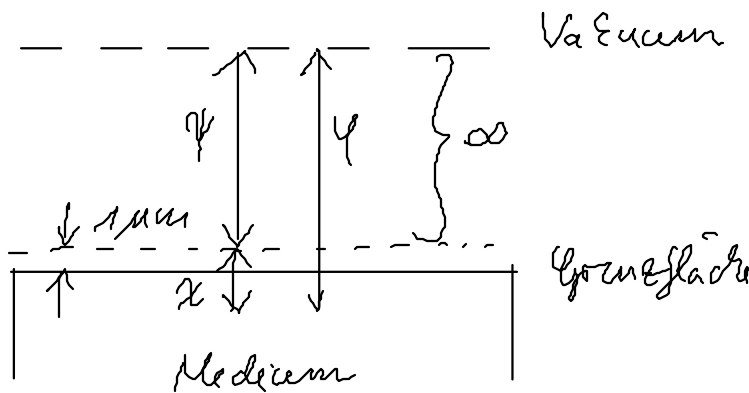


# Potentiale

- "inneres Potential": Galvani-Potential  $\psi$   
 $\Rightarrow$  notwendig Arbeit um Ladung/Ion aus  $\infty$  Abstand aus Vacuum ins Innere einer Phase weit weg von Phasengrenzen zu bringen
- "äußeres Potential": Volta-Potential  $\Psi$   
 $\Rightarrow$  1. Teilschritt (des Galvani Potentials) des Ladungstransports.  
 Ladung ( $a \approx \infty$ ) wird in der Nähe der Grenzfläche transportiert (nern)
- Oberflächenpotential: Oberflächenspannungspotential  $\chi$   
 $\Rightarrow$  2. Schritt des Ladungstransports. Ladung passiert die Grenzfläche und wird ins Innere einer Phase transportiert.



$$\Psi = \psi + \chi$$

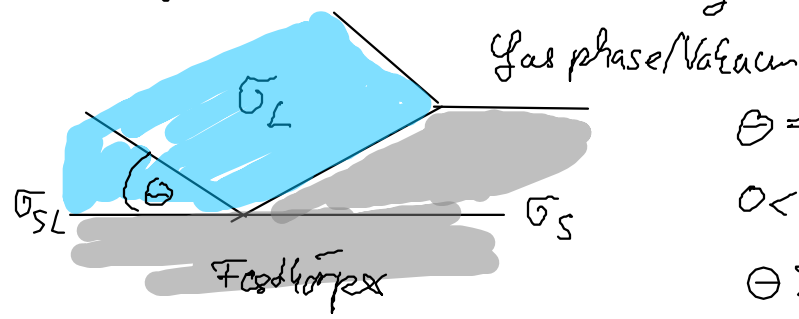
- direkt messbar:  $\Psi$
- indirekt:  $\Delta \Psi, \Delta \chi$

## B5 Kontaktwinkel & Benetzung

- Benetzung: begrenzte Flüssigkeitsmenge auf Oberfläche
- Kontaktwinkel  $\theta$ :
- Anwendung: Waschmittel
- Flotation: Tragen von Erzen vom Gestein

## Young-Gleichung

- Quantitative Beschreibung von Benetzungsvorgängen



$\theta = 0^\circ$  vollständige Benetzung

$0 < \theta < 90^\circ$  teilweise Benetzung

$\theta > 90^\circ$  keine Benetzung

• Es gilt:  $G_L \cdot \cos \theta = G_S - G_{SL}$

## Young-Gleichung

$\Rightarrow$  gültig im thermodynamischen Gleichgewicht, das heißt gesättigter Flüssigkeitsdampf und mikroskopisch dünne Film

- $G_S > G_{SL} + G_L$  ist im Gleichgewicht möglich ( $\cos \theta = 0$ )

Begründung: Einfüßen Energie sinkt  $\Rightarrow$  Kondensation

$\Rightarrow$  Ausbildung eines kontinuierl. Flüssig. Films

- $G_S = G_{SL} + G_L$  vollständige Benetzung

## Benetzungsvorgänge

- Temperaturänderung

$T$  steigt  $\Rightarrow G_L$  sinkt schneller als  $G_S - G_{SL}$

$$\cos \theta = \frac{G_S - G_{SL}}{G_L} \Rightarrow \theta \text{ sinkt}$$

- Übergang von teilweiser Benetzung bis vollständiges Benetzen